

分子束外延砷化镓单晶薄膜

孔梅影 孙殿照 黄运衡

梁基本 陈宗圭 李歧旺

(中国科学院半导体研究所)

1983年5月30日收到

提 要

MBE GaAs 单晶薄膜的载流子浓度 $(1.8-8) \times 10^{16} \text{ cm}^{-3}$, 室温迁移率 $3000-5000 \text{ cm}^2/\text{V}\cdot\text{s}$ 最高达 $5466 \text{ cm}^2/\text{V}\cdot\text{s}$, 相应的 77K 迁移率为 $1.59 \times 10^4 \text{ cm}^2/\text{V}\cdot\text{s}$. 对高杂质浓度的外延层进行了阴极荧光 (4.2K) 和 SIMS 测量分析。

分子束外延技术 (MBE) 的独特优点是可以生长原子级厚度和平整度的超薄、多层单晶薄膜; 可随意改变薄膜的组分和掺杂。近几年来, 它在发展半导体新材料、新器件和新效应方面取得了许多突出的进展^[1], 日益显示出它在发展半导体科学技术中的重要作用。

已经报道过我们的 MBE 设备和用 GaAs 作 As 源的 MBEGaAs 的性能^[2]. 本文主要介绍用纯 As 作 As 源的 MBE GaAs 的单晶生长及其性能。

一、GaAs 单晶薄膜生长

选择电阻率为 10^7-10^8 欧姆·厘米掺 Cr 半绝缘 (100) GaAs 和 n⁺-GaAs (载流子浓度 $\sim 10^{18} \text{ cm}^{-3}$) 作衬底, 生长前将机械抛光好的衬底用有机溶剂清洗、再用 H₂SO₄ : H₂O₂ : H₂O = 7:1:1 化学腐蚀, 去离子水洗净、纯氮吹干。用 In 将其粘到清洁的钼块上后立即放入样品传递室, 再送入真空工作室进行生长前表面预处理, 然后生长。为了减少清洁的衬底表面受到碳、氧的污染, 衬底在化学腐蚀后使其表面立即形成一薄的自体氧化层。外延生长前先在 As 气氛下加热衬底可将此氧化层及吸附在它上面的一些杂质去除, 但碳难以去尽(在 AES 测量灵敏范围)。

选用高纯的 Ga 和 As (纯度 6 个 9) 作分子束源材料, 热解氮化硼和高纯石墨分别作盛 Ga 和 As 的坩埚材料。生长时 T_{Ga} 980—1060°C, T_{As} 320—350°C, 衬底温度 590—630°C, As 和 Ga 的流量比为 5—10. 图 1 是生长条件下用 QMS 测得的 Ga、As 分子束流量及残余气体成分的质谱图。在这样的生长条件下, 生长速率约为 $0.7-1.5 \mu\text{m}/\text{hr}$.

生长前后可用 RHEED 观察衬底表面结构的变化。开始时衬底表面的电子衍射图形十分模糊, 在 As 的气氛下去掉氧化层后, 衍射图形变得清晰成条, 有时出现再构条纹, 生长一段时间后再构条纹更清晰, 这表明生长的外延层表面十分平整, 呈现 As 稳态的 C(2×8) 再构表面(图 2). 生长前衬底的表面质量和生长条件对外延层的性能均有很大

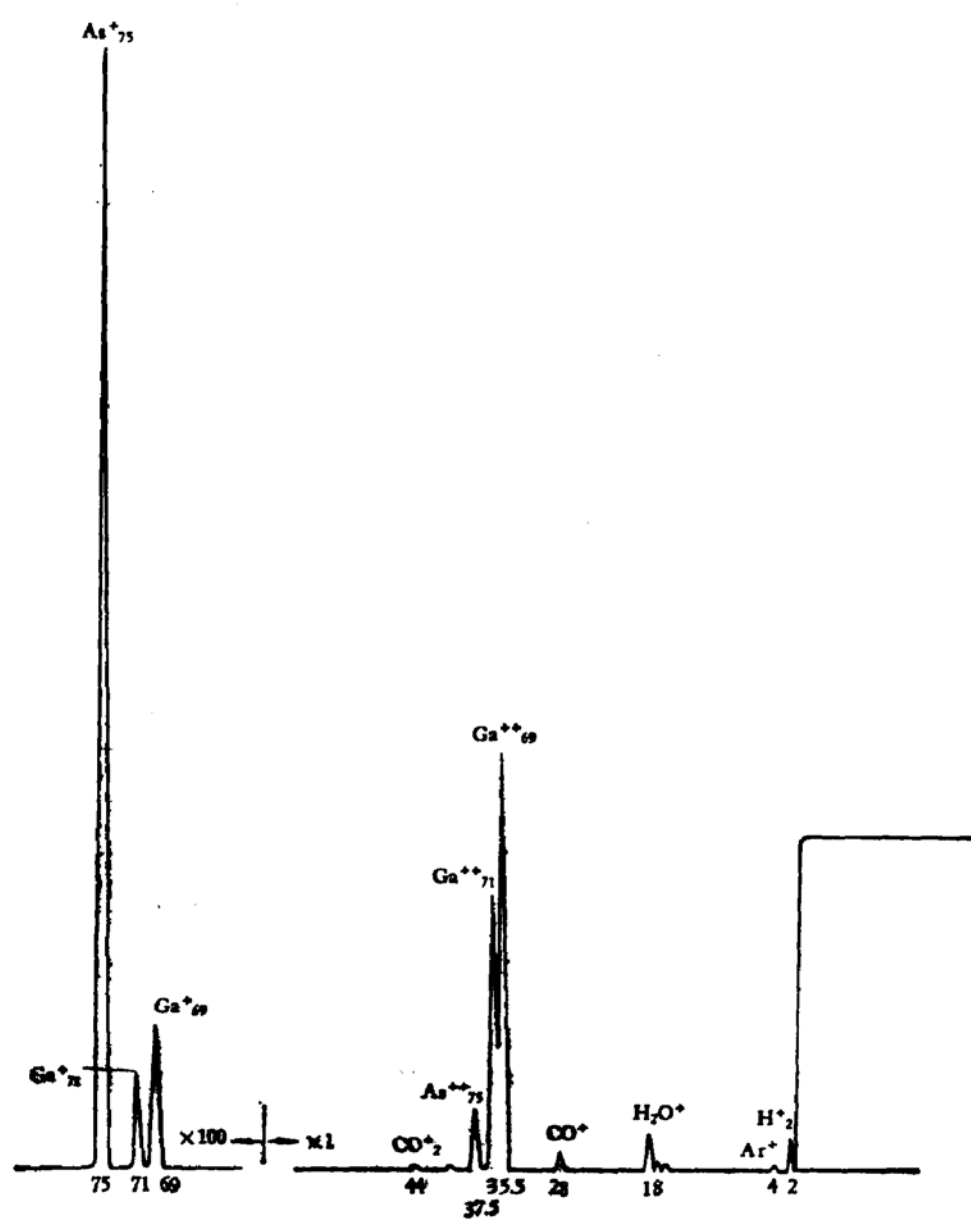
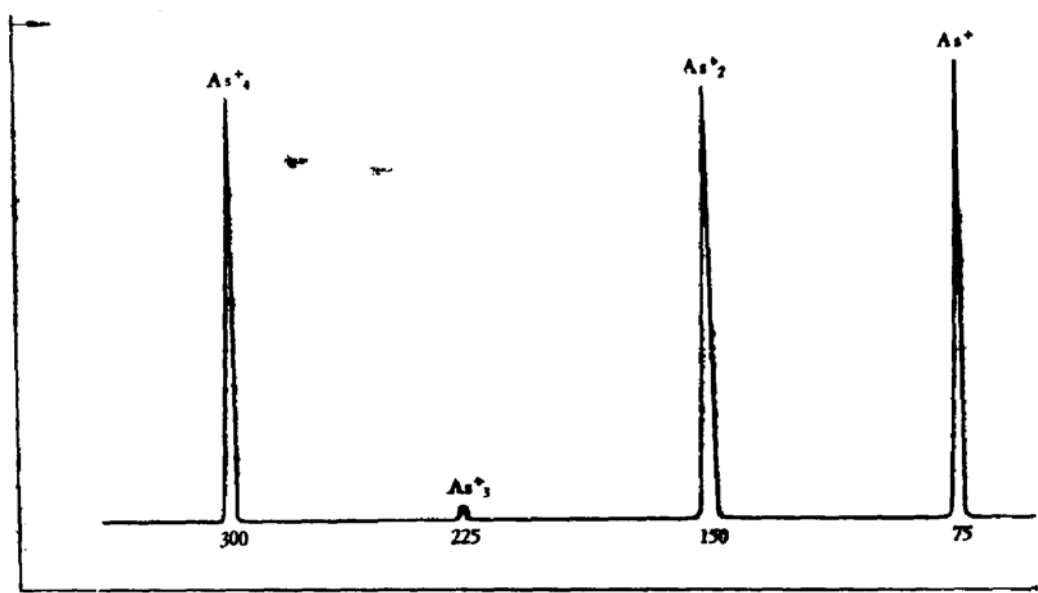


图 1 生长条件下 Ga、As 流量比及背景残余气体质谱图

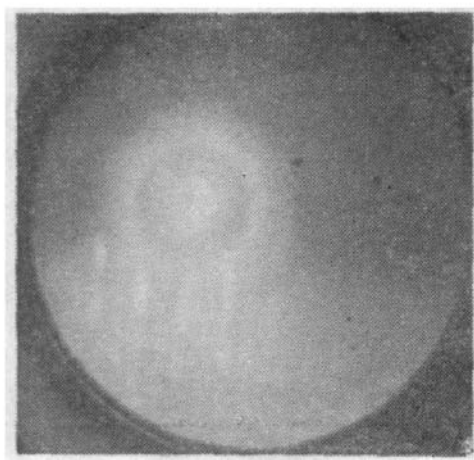


图 2 MBE GaAs 外延层表面的 RHEED 图形

影响。

二、MBE GaAs 的性能测试

1. 用扫描电镜观测了外延层的厚度和表面形貌, 外延层表面一般十分平整光洁。
2. 用范德堡法测得外延层是 n 型, 载流子浓度一般 $(1.8-8) \times 10^{16} \text{ cm}^{-3}$, 室温迁移率 $3000-5000 \text{ cm}^2/\text{V}\cdot\text{s}$, 最高达到 $5466 \text{ cm}^2/\text{V}\cdot\text{s}$ (载流子浓度 $1.93 \times 10^{16} \text{ cm}^{-3}$), 相应的 77K 下的迁移率为 $1.59 \times 10^4 \text{ cm}^2/\text{V}\cdot\text{s}$ *
3. 4.2K 下的阴极荧光测量表明高杂质浓度外延层中 C 污染比较严重, 此外还有 Cr 和施主杂质等的污染。

表 1 MBE GaAs 的阴极荧光谱 (4.2K, 电子能量 20keV)

峰值波长	能 量	相对强度	峰性质和相应的杂质
821nm	1.51eV	1	施主 (h , D^0)
831nm	1.490eV	2.7	C(e , A^0)
850nm	1.459eV	0.1	C(eA^0 -LO)
920nm	1.35eV	0.01	可能是 Cu 或 V _{As}
1525nm	0.81eV	~1	Cr

4. SIMS 对高杂质浓度样品的剥层测量表明, 外延层中 C, O₂, Si, Ge, Se, Fe 等杂质的含量都不同程度地高于衬底(表 2)。初步分析认为外延层中的 Cr 来自衬底的扩散, Fe 来自不锈钢受热部件。

* 在本文稿投送后我们又对分子束源进行了改进, 显著提高了 MBE GaAs 的性能。目前 n 型 MBE GaAs 电学特性可重复的结果是:

$$n = 1 \times 10^{14} - 1 \times 10^{15} \text{ cm}^{-3}, \mu_{300K} = (5-7) \times 10^3 \text{ cm}^2/\text{V}\cdot\text{s}, \\ \mu_{77K} = (4-5) \times 10^4 \text{ cm}^2/\text{V}\cdot\text{s}, \text{外延层厚 } 2-3 \mu\text{m}$$

最高水平:

$$n = 1 \times 10^{14} \text{ cm}^{-3}, \mu_{300K} = 7796 \text{ cm}^2/\text{V}\cdot\text{s}, \mu_{77K} = 7.984 \times 10^4 \text{ cm}^2/\text{V}\cdot\text{s}, \text{外延层厚为 } 9.7 \mu\text{m}$$

本文作者, 1983 年 12 月 3 日。

表2 衬底和外延层中杂质的 SIMS 测量对比 (cm^{-3})

	O ₂	C	Si	Ge	Se	Tc	S	Cr	Fe	Mn	Mg
衬底	3.8×10^{16}	1.5×10^{16}	1.5×10^{14}	7×10^{15}	8×10^{15}	1.5×10^{16}	1.0×10^{16}	$1 \times 10^{17*}$	2×10^{16}	1.5×10^{15}	2.5×10^{15}
外延层	5×10^{16}	3×10^{17}	1.6×10^{16}	3.5×10^{17}	1×10^{15}	3×10^{16}	1.5×10^{16}	2×10^{16}	7×10^{16}	1.5×10^{15}	2.5×10^{15}

* 衬底是掺 Cr 半绝缘 GaAs

以上结果表明,用我们自己研制的 MBE 设备已生长出可作一些器件应用的 GaAs 单晶薄膜。今后还要进一步改进系统的清洁度、提高样品的迁移率和降低载流子浓度。

本工作得到黄昆、林兰英教授的关心和指导,感谢葛玉茹同志对样品的扫描电镜测试、李瑞云同志的电性能测试、一室 LPE GaAs、VPE GaAs 组同志的有益讨论和帮助、英国电信研究所帮助对样品所作的低温阴极荧光和 SIMS 测量以及江德生同志在阴极荧光方面的有益讨论。

参 考 文 献

- [1] 孔梅影,稀有金属, No. 2, 57(1982).
- [2] 分子束外延设备研制协作组,半导体学报, 2, 164(1981).

MBE GaAs Single Crystal Films

Kong Meiying, Sun Dianzhao, Huang Yunheng
 Liang Jiben, Chen Zonggui and Li Qiwang
(Institute of Semiconductors, Academia Sinica)

Abstract

GaAs films have been prepared by molecular beam epitaxy. Undoped MBE GaAs is n-type with net carrier concentration $(1.8-8) \times 10^{16} \text{ cm}^{-3}$ and mobility $3000-5000 \text{ cm}^2/\text{V}\cdot\text{s}$ at room temperature. Its highest mobility is $5466 \text{ cm}^2/\text{V}\cdot\text{s}$ ($n=1.93 \times 10^{16} \text{ cm}^{-3}$) with a corresponding mobility $1.59 \times 10^4 \text{ cm}^2/\text{V}\cdot\text{s}$ at 77K. Properties of high impurity level films have been studied with cathodoluminescence and SIMS.